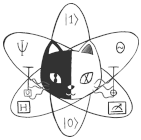
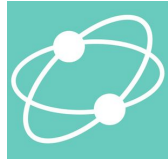


ESCUELA EN ESPAÑOL

QISKIT FALL FEST



UNIVERSIDAD SIMÓN BOLÍVAR

Hardware Cuántico y Corrección de errores

Victor Onofre



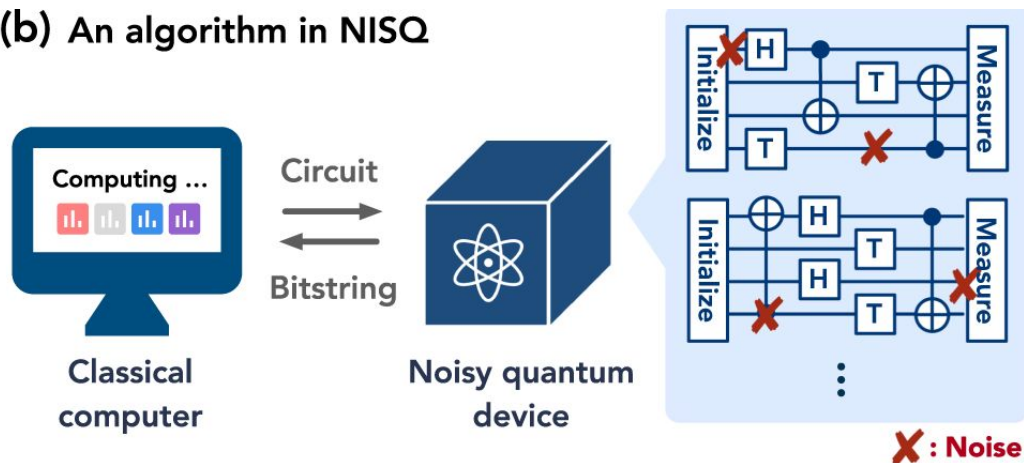
Summary

1. NISQ
2. Quantum Hardware
 - a. Superconductors qubits
 - b. Ion-trap
 - c. Neutral atoms
 - d. Photonics
3. Fault-tolerant Quantum Computing
4. Introducción a corrección de errores cuánticos
5. Conclusiones

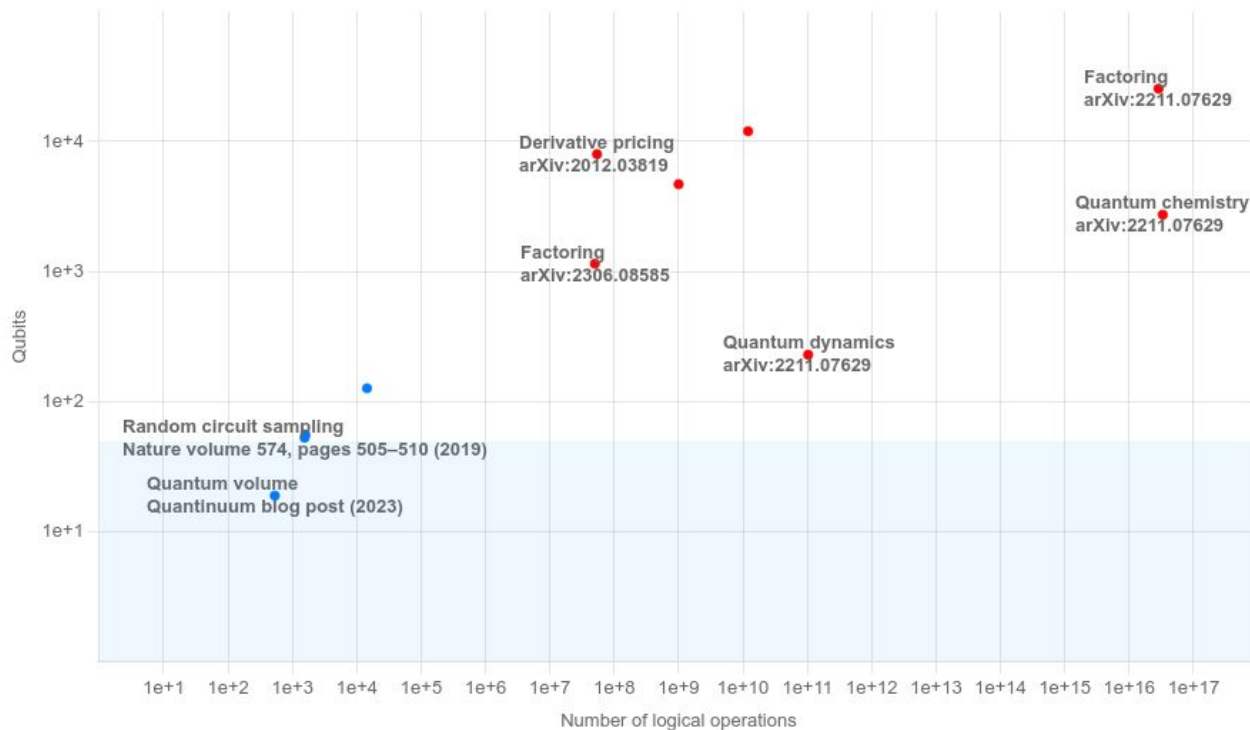
Noisy Intermediate-Scale Quantum (NISQ)

- La “escala intermedia” se refiere al tamaño de las computadoras cuánticas que estarán disponibles en los próximos años, con un número de qubits que oscilara entre 50 y unos cientos.
- "Ruidoso" enfatiza que tendremos un control imperfecto sobre esos qubits. El ruido impondrá serias limitaciones a lo que los dispositivos cuánticos pueden lograr en el corto plazo.

(b) An algorithm in NISQ



Quantum Computers: What We Need and What We Have

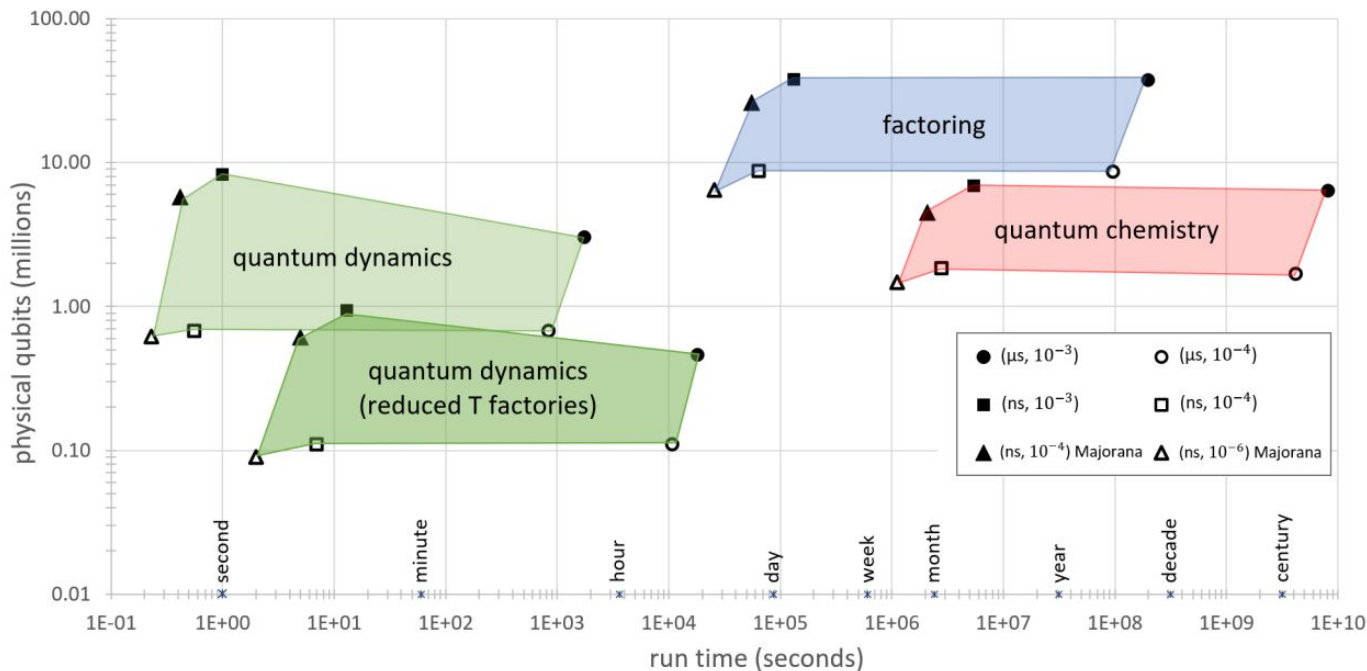


✓ ● Achieved

✓ ● Estimated

<https://metriq.info/Progress>

Quantum Computers: What We Need and What We Have

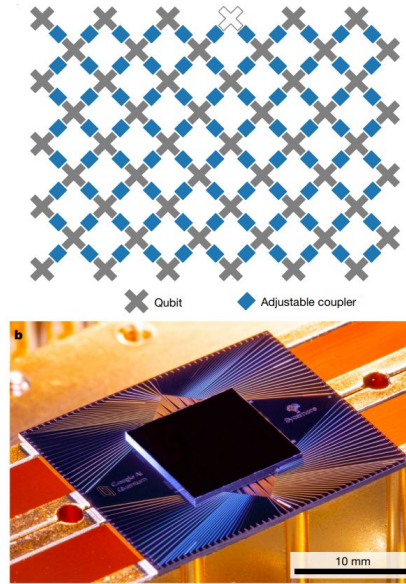
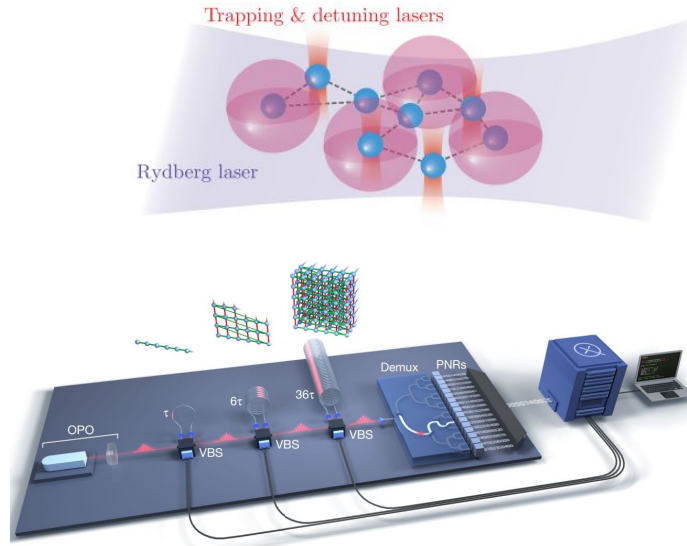


<https://arxiv.org/abs/2211.07629>

Quantum Hardware

En este momento no existe una tecnología preferida para qubits:

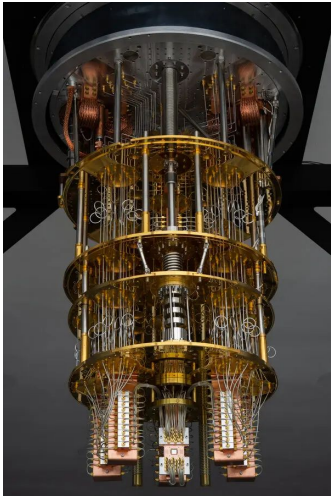
- Fotones
- Iones atrapados
- Superconductores
- Átomos neutros
- Y muchos mas ...



Uno de los problemas que comparten todas estas tecnologías es que es complicado aislar suficientemente los qubits del efecto de ruido externo, esto significa que **errores en una computadora cuántica son inevitables.**

Superconductors qubits

- Transmon qubits
- La superconductividad es la propiedad de ciertos materiales de conducir electricidad sin resistencia cuando se enfrían por debajo de una temperatura crítica.

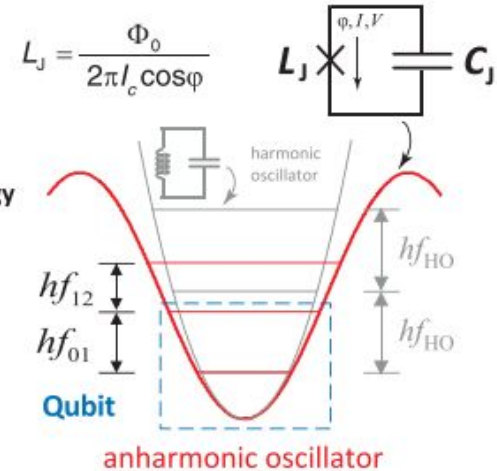


IBM
Google

rigetti

IQM

c Josephson junction: nonlinear inductance

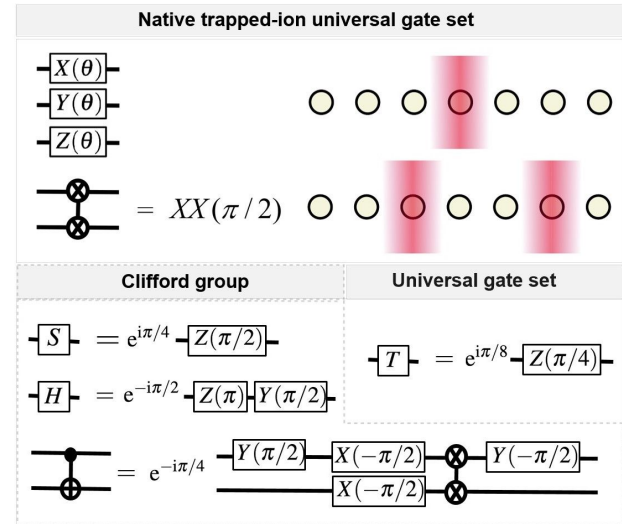
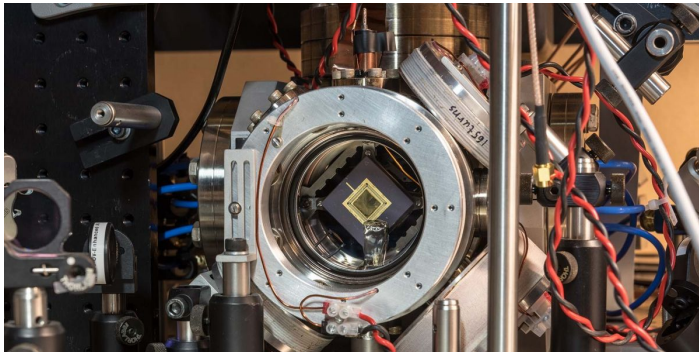
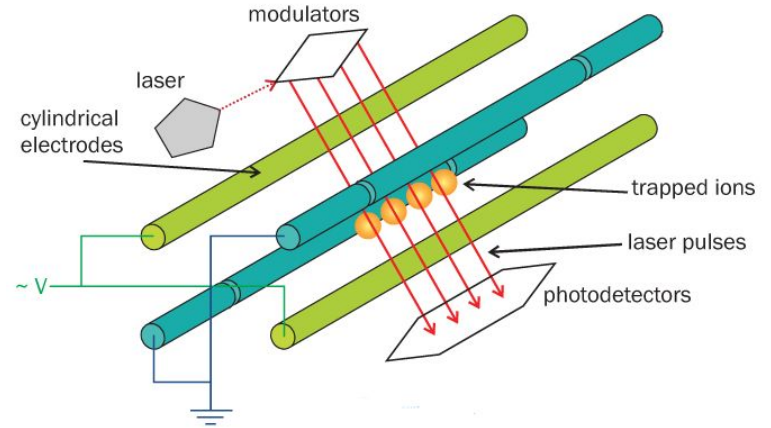


Ion-trap qubits

- Los qubits son iones atrapados por campos eléctricos y manipulados con láseres.

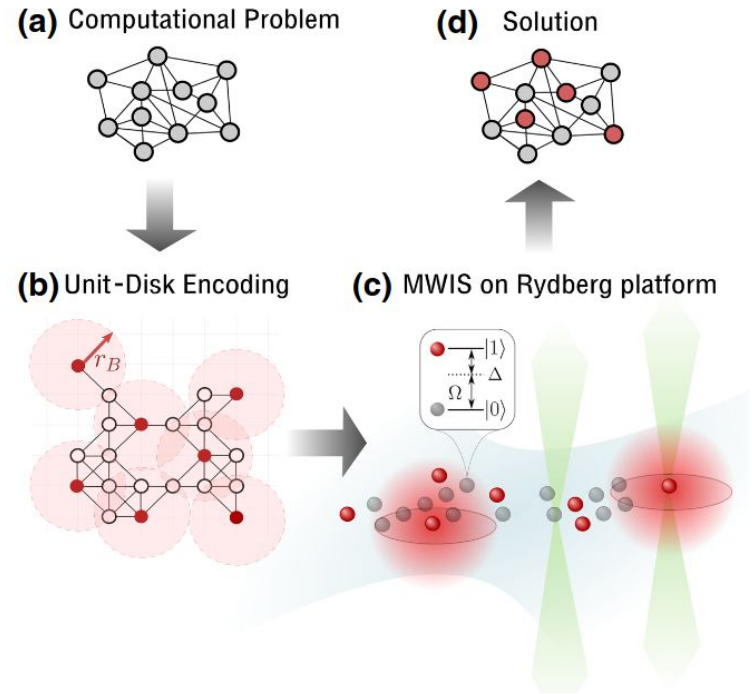
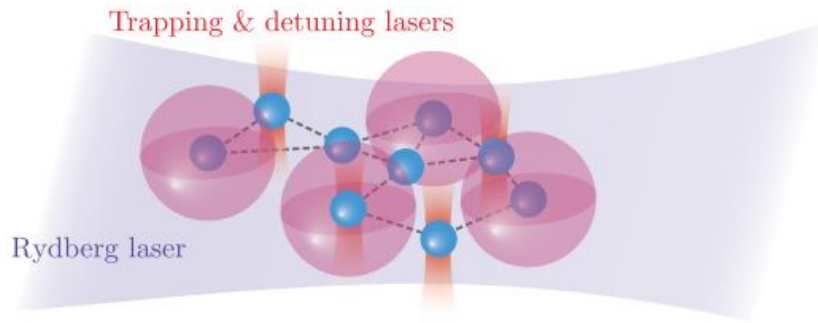


QUANTINUUM



Neutral Atoms qubits

- Basado en arrays configurables de átomos neutros individuales. Los arrays puede verse como un registro, donde cada átomo desempeña el papel de un qubit.
- Analog or digital quantum computing



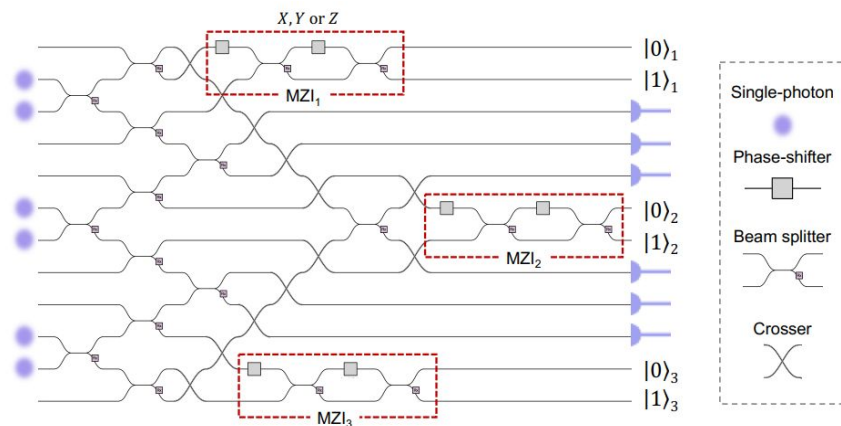
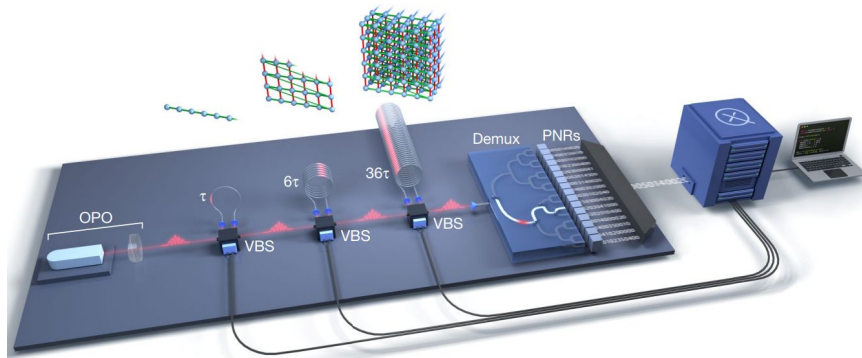
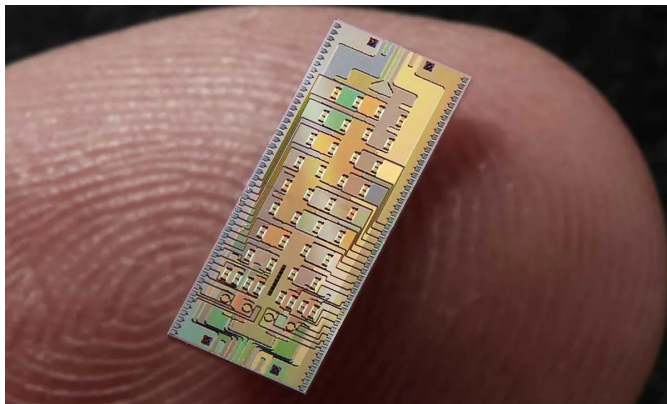
QERA
COMPUTING INC.

Photonics qubits

Ψ PsiQuantum

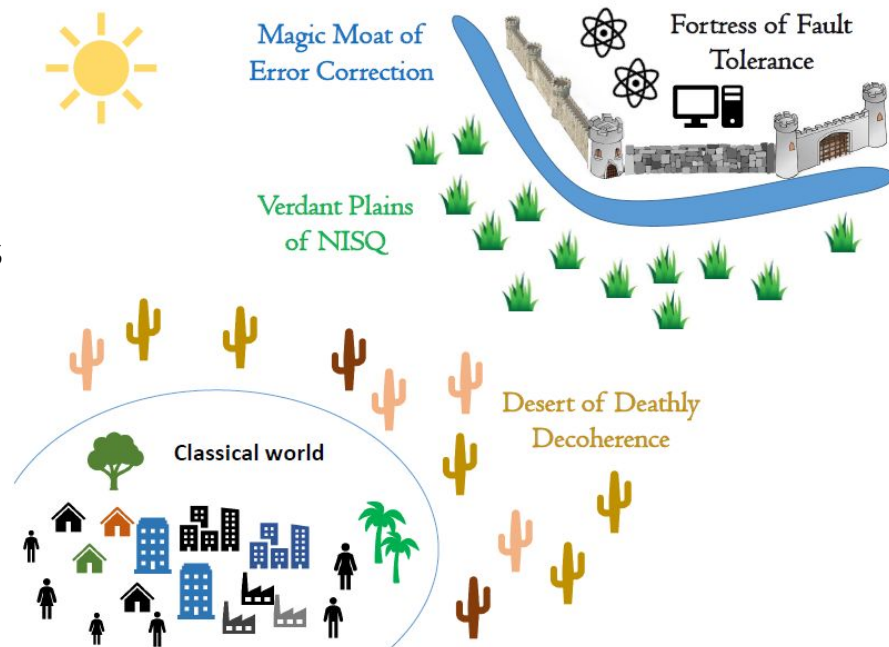
QUANDELA

 XANADU



Fault-tolerant Quantum Computing

- Tolerante a fallos (Fault-tolerant, FT) tiene como objetivo suprimir las tasas de error de algoritmos cuánticos arbitrarios
- Principios que garantizan fallas corregibles que no se propagan demasiado rápido a través de los circuitos hasta convertirse en errores lógicos incorregibles.
- Useful computation factoring (**RSA 2048**) requires ~ **10^{10} gate operations**
- Asumiendo operaciones de 2 qubits con una fidelidad ~99.99% (típicamente), 1 error por 1000 operaciones, esto lleva a **10^7 errores**.



Corrección de errores clásicos

- Información clásica - “0” or “1”
- El principio básico de corrección de errores es que el número de bits utilizados para codificar **información es aumentado**
- El ejemplo más sencillo de un código de corrección de errores es el **código de repetición de tres bits**, el código que duplica cada bit - $0 \rightarrow 000$, $1 \rightarrow 111$
 - Ejemplo: Un mensaje tiene un error de bit-flip durante la transmisión tal que se recibe **“010”**. En este escenario, el destinatario podrá inferir que el mensaje es **“000”** con voto mayoritario.

$$\mathcal{B} = \{0, 1\} \xrightarrow{\text{three-bit encoding}} C_3 = \{000, 111\},$$

Desafíos de Quantum Error Correction (QEC)

- El **teorema de no clonación** para estados cuánticos
- Qubits son susceptibles a **bit-flips y phase-flips**. Códigos QEC deben de ser diseñados para detectar ambos errors simultáneamente.
- Toda medición de los qubits como parate de corrección de errores deber hacerse con cuidado para no causar que la **función de onda colapse** y se elimine la información codificada.

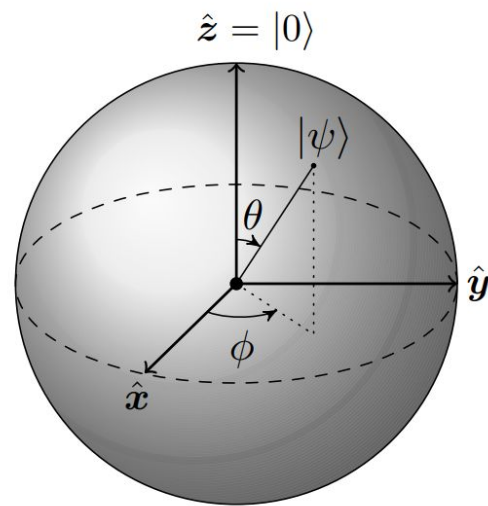
Representación de errores cuánticos

- Qubit: $|\psi\rangle = \alpha|0\rangle + \beta|1\rangle$, $|\alpha|^2 + |\beta|^2 = 1$

$$|\psi\rangle = \cos \frac{\theta}{2} |0\rangle + e^{i\phi} \sin \frac{\theta}{2} |1\rangle, \quad |\cos \frac{\theta}{2}|^2 + |e^{i\phi} \sin \frac{\theta}{2}|^2 = 1$$

- Errores que causa una rotación del qubit de un punto a otro pueden ser descritos por una operación unitaria $U(\delta\theta, \delta\phi)$

$$U(\delta\theta, \delta\phi) |\psi\rangle = \cos \frac{\theta + \delta\theta}{2} |0\rangle + e^{i(\phi + \delta\phi)} \sin \frac{\theta + \delta\theta}{2} |1\rangle,$$



Representación de errores cuánticos

- Pauli Basis: $\mathbb{1} = \begin{pmatrix} 1 & 0 \\ 0 & 1 \end{pmatrix}, \quad X = \begin{pmatrix} 0 & 1 \\ 1 & 0 \end{pmatrix}, \quad Y = \begin{pmatrix} 0 & -i \\ i & 0 \end{pmatrix}, \quad Z = \begin{pmatrix} 1 & 0 \\ 0 & -1 \end{pmatrix}.$

$$U(\delta\theta, \delta\phi) |\psi\rangle = \alpha_I \mathbb{1} |\psi\rangle + \alpha_X X |\psi\rangle + \alpha_Z Z |\psi\rangle + \alpha_Y Y |\psi\rangle$$

$$U(\delta\theta, \delta\phi) |\psi\rangle = \alpha_I \mathbb{1} |\psi\rangle + \alpha_X X |\psi\rangle + \alpha_Z Z |\psi\rangle + \alpha_{XZ} XZ |\psi\rangle.$$

- Todo **error coherente** puede ser descompuesto a una suma del set $\{I, X, Z, XZ\}$
- Un código de corrección de errores que tenga la habilidad de corregir errores descritos por las **matrices de Pauli X y Z** podrá corregir cualquier error coherente.
- Este efecto, conocido como la digitalización de errores, es crucial para el éxito de códigos cuánticos de corrección de errores

Tipos de errores cuánticos

- 2 errores cuánticos fundamentales que necesitan ser detectados por códigos cuánticos
- Errores tipo-X (Bit-flips): $X|0\rangle = |1\rangle$ and $X|1\rangle = |0\rangle$

$$X|\psi\rangle = \alpha X|0\rangle + \beta X|1\rangle = \alpha|1\rangle + \beta|0\rangle$$

- Errores tipo-Z (Phase-flip): $Z|0\rangle = |0\rangle$ and $Z|1\rangle = -|1\rangle$

$$Z|\psi\rangle = \alpha Z|0\rangle + \beta Z|1\rangle = \alpha|0\rangle - \beta|1\rangle$$

Codigo de dos qubits

- La etapa de codificación del código de dos qubits, actuando sobre un estado general, tiene la siguiente acción:

$$|\psi\rangle = \alpha |0\rangle + \beta |1\rangle \xrightarrow{\text{two-qubit encoder}} |\psi\rangle_L = \alpha |00\rangle + \beta |11\rangle = \alpha |0\rangle_L + \beta |1\rangle_L$$

$$|0\rangle_L = |00\rangle \text{ and } |1\rangle_L = |11\rangle \quad |\psi\rangle_L = \alpha |00\rangle + \beta |11\rangle \neq |\psi\rangle \otimes |\psi\rangle$$

- El efecto de la operación es distribuir la información cuántica del estado inicial a través de del estado lógico entrelazado $|\psi\rangle_L$
- Priori to encoding: $|\psi\rangle \in \mathcal{H}_2 = \text{span}\{|0\rangle, |1\rangle\}$
- After encoding: $|\psi\rangle \in \mathcal{H}_4 = \text{span}\{|00\rangle, |01\rangle, |10\rangle, |11\rangle\}$
- Si el qubit lógico es afectado por un bit-flip en el primer qubit:

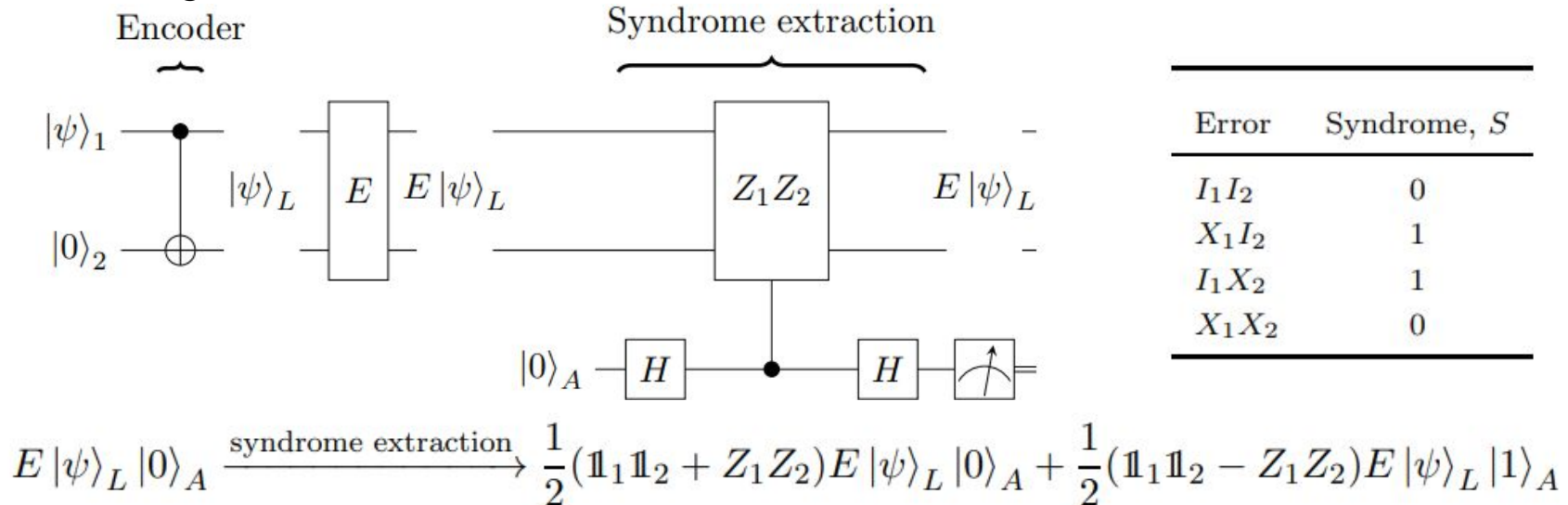
$$X_1 |\psi\rangle_L = \alpha |10\rangle + \beta |01\rangle,$$

Codigo de dos qubits

- El operador $Z_1 Z_2$ aplicado al estado lógico da +1 eigenvalue

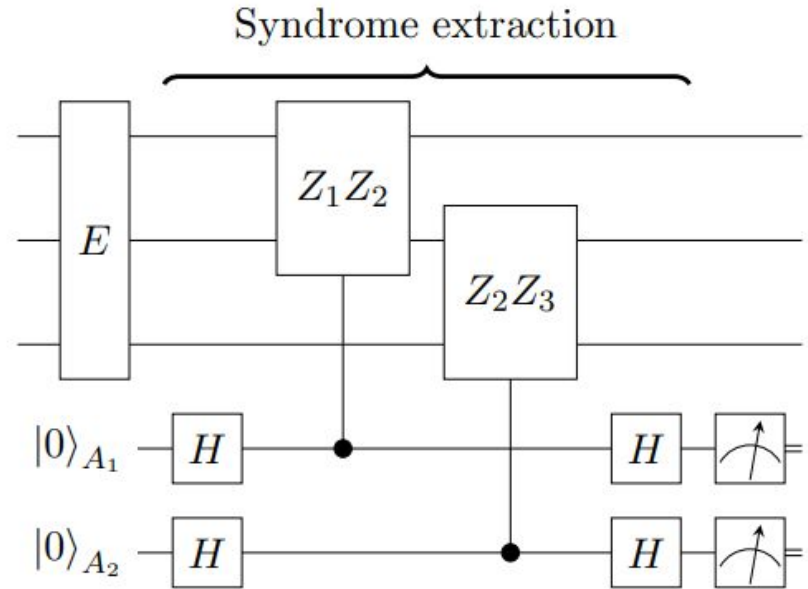
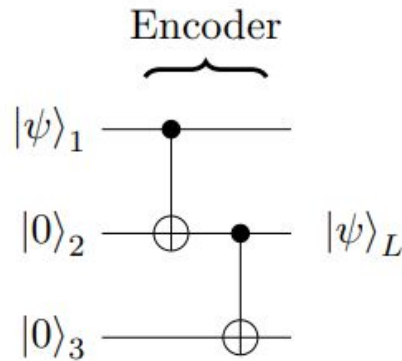
$$Z_1 Z_2 |\psi\rangle_L = Z_1 Z_2 (\alpha |00\rangle + \beta |11\rangle) = (+1) |\psi\rangle_L$$

- Operador “estabiliza” el qubit lógico ya que lo deja sin cambios
- El resultado de la medición del qubit ancilla es conocido como “syndrome” y nos dice si el estado lógico tiene un error o no.



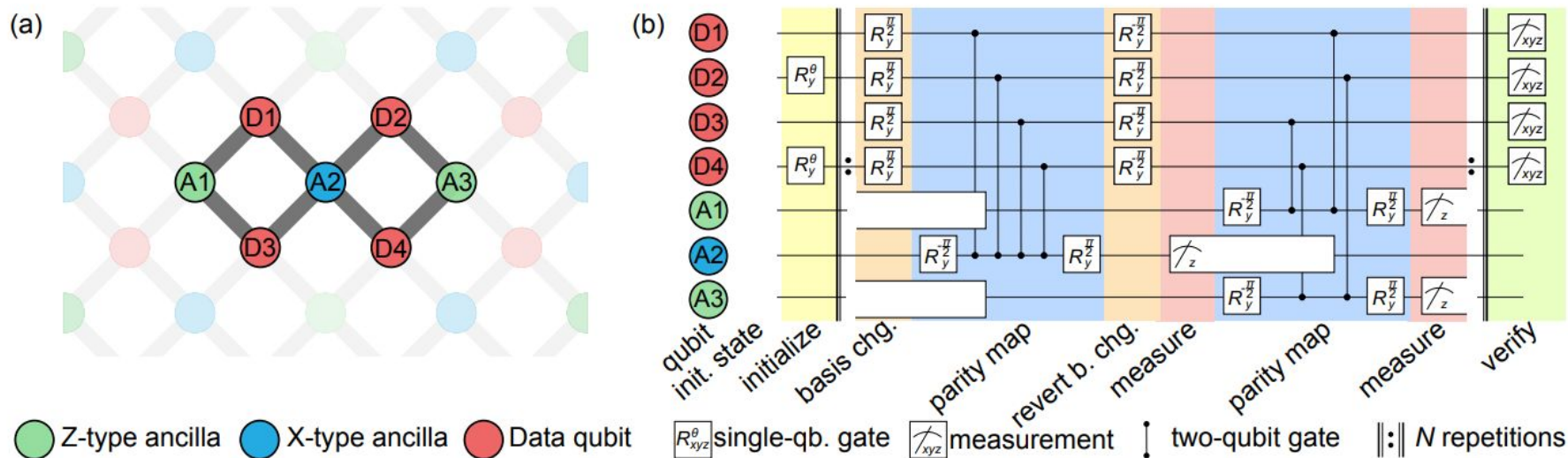
Código de tres qubits

Para crear un código de corrección de errores con la habilidad de detectar y localizar errores, es necesario utilizar múltiples mediciones



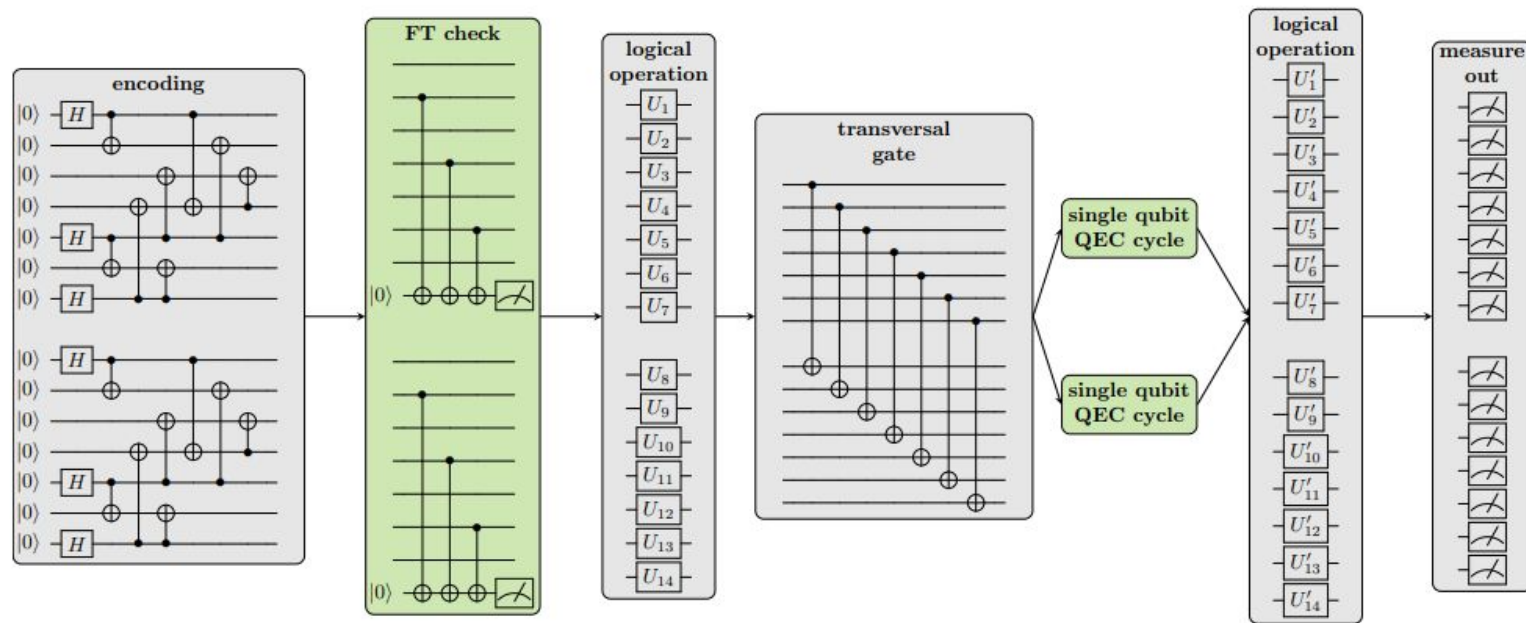
Error	Syndrome, S	Error	Syndrome, S
$I_1I_2I_3$	00	$X_1X_2I_3$	01
$X_1I_2I_3$	10	$I_1X_2X_3$	10
$I_1X_2I_3$	11	$X_1I_2X_3$	11
$I_1I_2X_3$	01	$X_1X_2X_3$	00

Ejemplo surface code



Seven qubit surface code. (a) The surface code consists of a two-dimensional array of qubits. Here the data qubits are shown in red and the ancilla qubits for measuring X-type (Z-type) stabilizers in blue (green). The smallest surface code consists of seven qubits indicated by the data qubits D1-D4 and the ancilla qubits A1-A3.

Ejemplo experimental QEC con Ion-traps



The circuit used for testing the different instantiations of the color code CNOT gate

Ejemplo experimental QEC con Ion-traps

- Aplicación de una operación CNOT con QEC: Promedio experimental de **fidelity bounds [0.9957, 0.9963] or an error rate of $\sim 4 \times 10^{-3}$**
- Aplicación de una operación CNOT sin QEC: **[0.9850, 0.9903] or an error rate of $\sim 1.0 \times 10^{-2}$**

Circuit description	Label	FT SPAM	QEC rounds	X-basis fidelity	Z-basis fidelity	Bell fidelity	Avg. fidelity bounds
non-FT SPAM	SPAM1c	no	N/A	0.9847(8)	0.9852(9)	-	-
FT SPAM	SPAM2c	yes	N/A	0.99939(15)	0.99959(13)	-	-
non-FT QEC	QEC1c	yes	1 syn. extract.	0.970(2)	0.988(1)	-	-
FT QEC	QEC2c	yes	1 FT QEC cycle	0.9711(31)	0.9914(8)	-	-
FT CNOT	CNOT1c	yes	none	0.9978(5)	0.9985(4)	0.9940(7)	[0.9957, 0.9963]
FT CNOT + non-FT QEC	CNOT2c	yes	1 syn. extract.	0.942(3)	0.971(2)	0.914(4)	[0.9216, 0.9373]
FT CNOT + FT QEC	CNOT3c	yes	1 FT QEC cycle	0.917(9)	0.976(2)	0.921(5)	[0.8983, 0.9436]

<https://arxiv.org/abs/2208.01863>

Conclusiones

- Toda operación en hardware real tendrá ruido cuántico
- Protocolos de QEC necesitan un número muy grande de qubits para operar eficientemente
- Se necesita entender el ruido de tu dispositivo NISQ para obtener una aplicación útil
- En dispositivos NISQ es muy útil aplicar Mitigación de errores
- Progreso exponencial en el hardware se está haciendo actualmente
- *Tiempos emocionantes para estar trabajando en computación cuántica!!*